

# Jak parametry vjezdu okružní křižovatky ovlivňují bezpečnost silničního provozu

Nová výstavba nebo přestavba stávající křižovatky na okružní je běžnou praxí rozvoje a údržby silniční infrastruktury. Proto je vhodné znát vliv jejich parametrů na jízdu vozidla z pohledu bezpečnosti. Tento článek je zaměřen na analýzu přímého průjezdu vozidla okružní křižovatkou a s ním spojené charakteristiky. Měření probíhalo pomocí GPS jednotky umístěné v měřícím vozidle. Realizovali jsme cca 150 přímých průjezdů na 11 okružních křižovatkách v Brně. Identifikovali jsme parametry směrového polygonu jízdy vozidla: přímkovou a obloukovou část průjezdu a hodnoty úhlu na vjezdu, úhlu na přímém průjezdu, poloměru vjezdu, průjezdu a výjezdu. Hlavním přínosem práce je stanovení vztahu mezi rychlosť vozidla na průjezdu a geometrií okružní křižovatky z pohledu bezpečnosti, které je vyjádřena dopravní nedovoleností. Výsledky potvrzily ovlivnění rychlosti vozidla vjezdovým poloměrem a úhlem. Závěry potvrzují nutnost dodržování vhodných návrhových parametrů křižovatky, aby bylo zaručeno její bezpečnost, ale nenarušili propustnost.

## ÚVOD

Okružní křižovatky (OK) představují jeden z nejdynamičtěji rozšiřujících se typů křižovatek na silniční infrastruktuře v ČR. Tento typ křižovatky se realizuje jako novostavba, ale častěji jako přestavba stávající stykové nebo průsečné křižovatky. Na území ČR jsme identifikovali cca 1 200 OK. Ke stavbě OK se přistupuje především z pohledu propustnosti a čím dál častěji i z pohledu bezpečnosti. Bezpečnost vychází z geometrického uspořádání křižovatky, které má přímý vliv na dráhu (trajektorii) projíždějících vozidel. Kapacita je geometrií OK také ovlivněna, především z pohledu rychlosti vozidel a plynulosti dopravního proudu.

Bezpečnost i kapacita křižovatky vychází nejen z jednotlivých průjezdů vozidel ale především z jejich interakce. Z pohledu ovlivnění okolním provozem lze rozlišit dva základní typy průjezdů a to: neovlivněný (bez interakce) a ovlivněný průjezd (s interakcí). Na oba typy má vliv geometrie a uspořádání křižovatky (komunikace), které zůstávají neměnné. Od těchto faktorů se odvíjí reakce řidiče a dále pak pohyb vozidla. Jejich vliv na bezpečnost lze identifikovat pomocí multifaktorové analýzy ve vztahu k parametrům neovlivněných průjezdů.

Uspořádání OK nedovoluje levé odbočení. Sdružuje pohyb vozidel jednoho paprsku křižovatky do jednoho vjezdu (směru), kde řidič dívává přednost vozidlům na okruhu. Vjezd je nejčastějším místem konfliktů a dopravních nehod v oblasti OK. Jeho úprava ovlivňuje rychlosť a trajektorii vozidel na průjezdu křižovatkou.

Na území ČR se nachází poměrně široká škála realizovaných vjezdů OK, které umožňují jak nízké tak vysoké rychlosti vozidel. O rychlosti je známo, že má přímý vliv na brzdoucí dráhu vozidla (bezpečnost) ale i propustnost křižovatky (kapacita). Článek je specificky zaměřen na analýzu trajektorie přímého průjezdu OK. Základním předpokladem je, že vhodnou realizaci vjezdu a středového ostrova křižovatky jsou řidiči motivováni upravit rychlosť vozidla, což má vliv na vznik a průběh konfliktů či dopravních nehod.

## SMĚROVÝ POLYGON NA PŘÍMÉM PRŮJEZDU

### OKRUŽNÍ KŘIŽOVATKOU

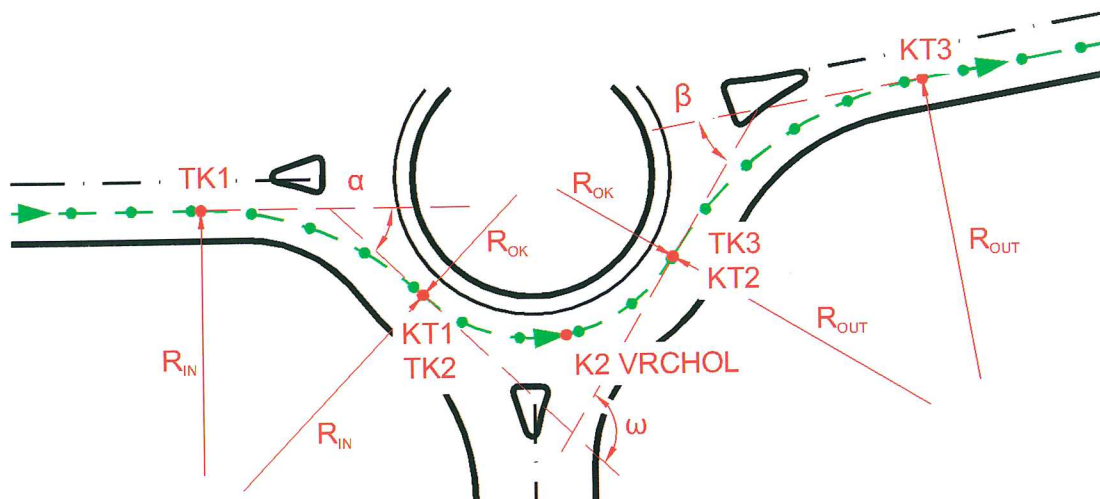
Přímý průjezd je v této práci definován jako pohyb vozidla mezi dvěma protilehlými rameny OK (z vjezdu do protilehlého výjezdu). Trajektorie představuje pohyb vozidla zaznamenaný GPS (zelené body na obr. 1).

Tato práce uvažuje, že trajektorii vozidla na průjezdu křižovatkou lze rozložit a zjednodušit pomocí prvků směrového polygonu (přímky a směrové oblouky viz obr. 1). Trajektorie obsahuje přímku na vjezdu, pravý směrový oblouk na vjezdu, levý směrový oblouk na okruhu křižovatky, pravý směrový oblouk na výjezdu křižovatky a přímku za výjezdem. Mezi přilehlými oblouky uvažujeme inflexní bod (bod  $TK = KT$ ). Naměřenou krátkou ( $L < 1 \text{ m}$ ) mezi přímou zanedbáváme. Tečny tvoří směrový polygon. Přímky polygonu spolu svírají úhly (postupně ve směru jízdy  $\alpha, \omega, \beta$ ). Na obr. 1 jsou prezentovány ostrůvky o minimálních parametrech.

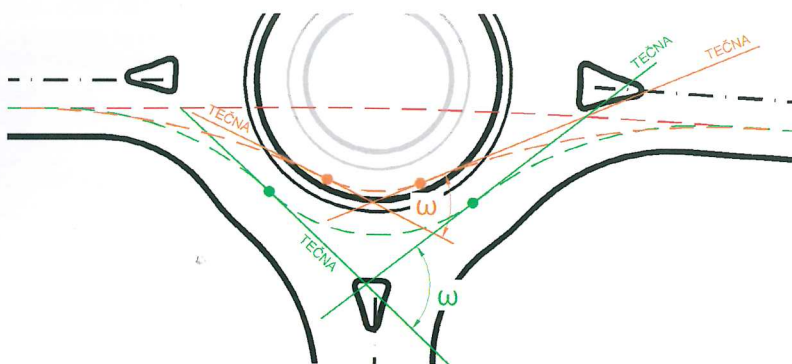
Úhel na vjezdu OK ( $\alpha$  viz obr. 1) představuje změnu směru jízdy vozidla při vjezdu na okružní pás. Úhel na přímém průjezdu křižovatkou ( $\omega$  viz obr. 1) představuje změnu směru pohybu vozidla při objíždění středového ostrova. Úhel na výjezdu OK ( $\beta$  viz obr. 1) představuje změnu směru jízdy vozidla při výjezdu z okružního pásu.

U nevhodně navržených OK nabývají úhly  $\alpha, \omega$  nebo  $\beta$  hodnot blížících se nule. Vozidlo pak projíždí téměř nebo úplně po přímce (viz oranžové nebo červená čára na obr. 2). Následkem toho nedochází k redukci rychlosti. Na obr. 2 je zobrazen vliv zmenšujícího se poloměru středního ostrova na úhel na přímém průjezdu  $\omega$ . Rychlosť vozidla na průjezdu obloukem by se měla pohybovat maximálně mezi 30–35 km/h (dle TP 135 [2]), jinak dochází ke zvýšení počtu DN nebo závažnějším následkům.

Do směrového polygonu jsou vloženy směrové oblouky, které nahrazují reálnou křivku průjezdu. Oblouk náleží vždy mezi dvě tečny (přímky), které svírají příslušný směrový úhel ( $\alpha, \omega, \beta$ ). Návrhovými



Obr. 1 – Parametry směrového polygonu přímého průjezdu vozidla OK

Obr. 2 - Úhel na přímém průjezdu  $\alpha$ 

poloměry na vjezdu/průjezdu/výjezdu OK se zabývá např. publikace Traffic and Highway Engineering [9], která je odvozuje dle obalových křížovek jednotlivých typů vozidel s ohledem na jejich rychlosť. V ČSN 73 6102 [1] je uvedena maximální hodnota poloměru  $R < 100$  m na přímém průjezdu OK. Nově revidované TP 135 [2] doporučují korigovat průjezd vozidla pomocí pojížděného prstence (podrobněji viz diskuze).

#### DATA

Výběrový soubor zahrnoval 155 průjezdů měřicího vozidla na 11 OK ve městě Brně (v intravilánu). Jedno měření představovalo neovlivněný přímý průjezd měřicího vozidla křížovatkou z vjezdu do protilehlého výjezdu. Průjezdy byly realizovány v běžný pracovní den měsíce října 2016 (v ranních a nočních hodinách mimo špičkové zatížení). Cílem bylo získat měření z průjezdů, které byly realizovány bez ovlivnění jinou dopravou. Z původního vzorku byly odstraněny ty průjezdy měřicího vozidla, u kterých byla zaznamenána interakce s jinými účastníky silničního provozu. Počet průjezdu byl redukován na 92 platných průjezdů (viz následující tab. 1).

Měření probíhalo pomocí měřicího vozidla, které obsahuje zařízení pro měření fyzikálních veličin s přesnou lokalizací objektů v systému GPS (jednotka Mti 100-series, horizontální přesnost: 1 m)

a videozáznam projížděné komunikace. Měření realizovali dva řidiči.

Tato práce představuje sběr a analýzu dat, která zanedbána rozmanitost vozového parku a řidičů. Průjezdová křivka vozidla byla nahrazena kružnicí. V budoucnosti se chce CDV věnovat další analýze tohoto typu křížovatky a doplnit chybějící údaje (výhledově v roce 2018).

#### METODA

Analýza trajektorie pohybu vozidla spočívá v rozboru skupiny po sobě jdoucích bodů, které definují polohu vozidla vůči počátku

ku souřadnicovému systému (původní GPS transformováno do S-JTSK). Trajektorie je vytvořena odečítáním charakteristik polohy měřicího vozidla za pohyb v reálném čase. Skutečná dráha vozidla byla nahrazena řadou bodů, které v pravidelných časových intervalech odečítala jednotka GPS. Pro rozbor je nejpodstatnější směrový úhel  $\varphi$  a odchylka směru  $\Delta\varphi$  po sobě jdoucích bodů trajektorie.

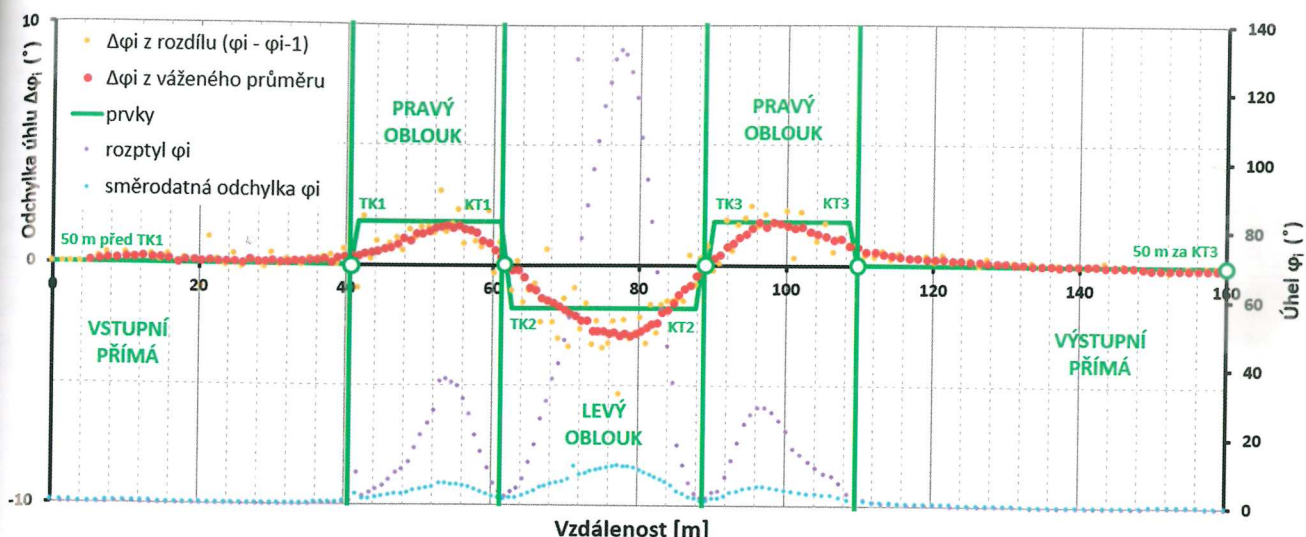
U oblouku je nezbytné identifikovat počáteční (TK), mezilehlý blízký prostředník (vrchol K) a koncový bod (KT). Řešením soustavy tří rovnic o třech neznámých (dosazením do obecné rovnice pro kružnici se středem v bodě) získáme polohu středu a hodnotu poloměru. Na základě polohy středu kružnice, počátku a konce oblouku se vypočte úhel na vjezdu  $\alpha$ , který je dle konstrukce směrového polygonu (přímka, kružnice, přímka) stejný jak v jeho vrcholu, tak ve výseči oblouku. Stejným postupem se stanoví parametry pro všechny oblouky trajektorie vozidla. Na následujícím obr. 3 je prezentována identifikace prvků směrového polygonu trajektorie vozidla na přímém průjezdu OK. Směrové oblouky jsou identifikované na základě nenulových hodnot rozptylu a směrodatné odchylky směrového úhlu  $\Delta\varphi$ .

Následuje popis charakteristik průměrného směrového polygonu trajektorie na přímém průjezdu OK z reálného měření pomocí měřicího vozidla. Tyto charakteristiky byly odvozeny pomocí analýzy trajektorie vozidla.

Tabulka 1 – Analyzované křížovatky: Brno

Okružní křížovatka	Počet rámén	Trajektorie Měřené/Platné	Průměrná hodnota [m]			Průměr OK [m]	Průměrná hodnota [°]		
			$R_{IN}$	$R_{OK}$	$R_{OUT}$		$\alpha$	$\omega$	$\beta$
Dlouhá × Hraničky	4	21 / 21	29	17	36	30	37	76	33
Hlavní × Absolonova	4	10 / 10	34	19	38	33	35	79	33
Hudcová × Kytnerova	3	10 / 6	25	19	30	30	34	54	45
Hviezdoslavova × Bedřichovická	4	18 / 9	56	24	52	27	15	46	16
Jihlavská × Stará dálnice	4	18 / 12	37	19	34	35	26	70	32
Koperníkova × Lazaretní	4	10 / 9	28	23	38	31	36	71	33
Křírova × Sokolova	4	21 / 1	41	19	32	31	31	78	34
Odbojářská × Nad Kašnou	4	8 / 1	> R*	20	35	29	2	68	21
Palachovo náměstí	4	10 / 8	27	24	26	48	49	92	50
Slezáková × Kohoutova	3	12 / 6	24	19	64	32	64	75	15
Vídeňská × FUTURUM	4	9 / 9	33	20	26	35	33	76	40

Poznámka: \* Jedná se o vysokou hodnotu poloměru  $R$ , která se blížila nekonečnu (oblouk inklinuje přímce).



Obr. 3 – Identifikace prvků trajektorie pomocí směrových úhlů  $\varphi_i$  a jejich odchylek  $\Delta\varphi_i$

Tabulka 2 – Charakteristiky směrových polygonů výběrového vzorku

Charakteristika	Min.	Max.	Průměr	Směrodatná odchylka	Rozptyl	Jednotka
Úhel na vjezdu – Alfa	2	83	35	17	281	[°]
Úhel na přímém průjezdu křižovatkou – Omega	28	125	73	20	381	[°]
Úhel na výjezdu – Beta	3	63	32	14	190	[°]
Poloměr na vjezdu $R_{IN}$	15	> R*	34	14**	206**	[m]
Poloměr na průjezdu $R_{OK}$	12	49	20	5	26	[m]
Poloměr na výjezdu $R_{OUT}$	18	> R*	37	18**	328**	[m]
Rychlosť v bodě 50 m před vjezdem (před TK 1)	27	60	42	8	40	[km/h]
Rychlosť v bodě TK 1	15	40	31	6	32	[km/h]
Rychlosť v bodě KT 1 = KT 2 (KK)	13	36	26	5	22	[km/h]
Rychlosť v bodě vrcholu K2	11	34	24	5	22	[km/h]
Rychlosť v bodě KT 2 = KT 3 (KK)	14	50	30	6	33	[km/h]
Rychlosť v bodě KT 3	23	52	38	7	45	[km/h]
Rychlosť v bodě 50 m za výjezdem (za KT 3)	28	68	44	9	87	[km/h]

Poznámka:

\* Jedná se o vysokou hodnotu poloměru  $R$ , který se blíží téměř přímce (nekonečno).

\*\* Směrodatná odchylka a rozptyl jsou počítány bez vysokých hodnot poloměru.

### VZTAH RYCHLOSTI A GEOMETRIE OK

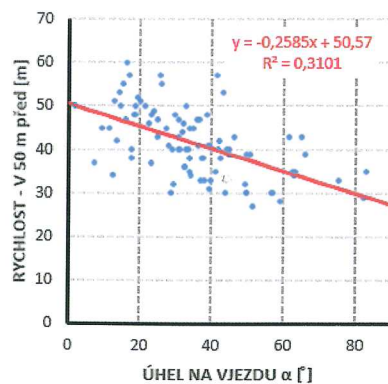
Pro posouzení vztahu rychlosti vozidla  $V$ , poloměru ( $R_{IN}$ ,  $R_{OK}$ ) a úhlu ( $\alpha$ ,  $\omega$ ,  $\beta$ ) průjezdu byl použit Spearmanův korelační koeficient. Korelace vyšší jak 0,5 byla zaznamenána pouze u následujících parametrů:

- rychlosť vozidla  $V_{50m \text{ před vjezdem}}$  a úhel na vjezdu  $\alpha$ ,
- rychlosť vozidla  $V_{50m \text{ před vjezdem}}$  a poloměr vjezdu  $R_{IN}$ ,
- rychlosť vozidla ve vrcholu okružního pásu  $V_{K2vrchol}$  a poloměr průjezdu na okruhu  $R_{OK}$ .

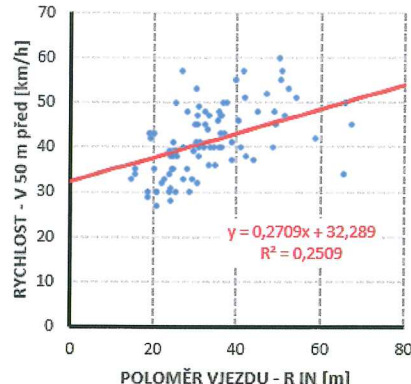
Korelace vypovídá o vztahu mezi aktuální rychlosťí vozidla na průjezdu  $V$  a prvky směrového polygonu (úhly, poloměry). Předpokla-

dem je, že řidič volí rychlosť vozidla dle parametrů komunikace, které předcházejí jeho trase. Na základě dat z měření lze potvrdit, že rychlosť vozidla na přímém průjezdu OK koreluje s geometrií OK. Přitom korelace rychlosťi  $V_{50m \text{ před vjezdem}}$  a poloměru  $R_{IN}$  je vyšší jak korelace s úhlem na vjezdu  $\alpha$ . Obdobných výsledků dosáhla i studie rychlostních charakteristik na přímém průjezdu OK [3].

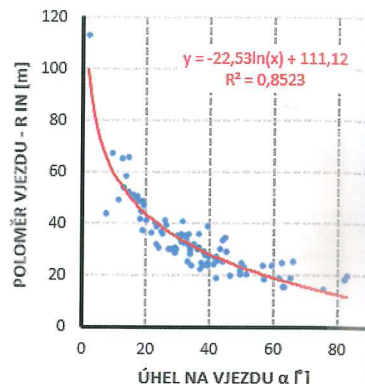
Hodnota nejvyšší korelace byla zaznamenána mezi rychlosťí vozidla před vjezdem na OK ( $V_{50m \text{ před vjezdem}}$ ) a rychlosťí ve všech ostatních bodech průjezdu. To znamí, že se chování řidiče v průběhu průjezdu OK nemění, jelikož nekoreluje s jinými parametry. Pokud řidič výjíždí „vysokou“ rychlosť do OK, tak průjezd a výjezd z OK provádí také vysokou rychlosť.



Obr. 4 – Závislost rychlosti na úhlu na vjezdu



Obr. 5 – Závislost rychlosti na poloměru vjezdu



Obr. 6 – Závislost poloměru na úhlu na vjezdu

Poznámka: Uvedené grafy odpovídají měření popsanému v tomto článku.

V místě napojení na okruh křížovatky (KT1 = TK2) má stále největší vliv jeho vjezdová rychlosť  $V_{50\text{ m před vjezdem}}$  až potom poloměr okruhu  $R_{OK}$  a úhel na přímém průjezdu  $\omega$ , což jsou směrové prvky komunikace, která předchází jízdě vozidla.

V místě vrcholu K2 je obvykle pro řidiče již viditelný výjezd OK. I tak byla zaznamenána vyšší korelace s původní vjezdovou rychlosť vozidla ( $V_{50\text{ m před}}$ ) než poloměru  $R_{OUT}$  a úhlu na výjezdu  $\beta$ . V bodech trajektorie za výjezdem se řidič snaží vrátit ke své původní (vjezdové) rychlosťi vozidla  $V$  a reaguje na další situaci mimo oblast OK.

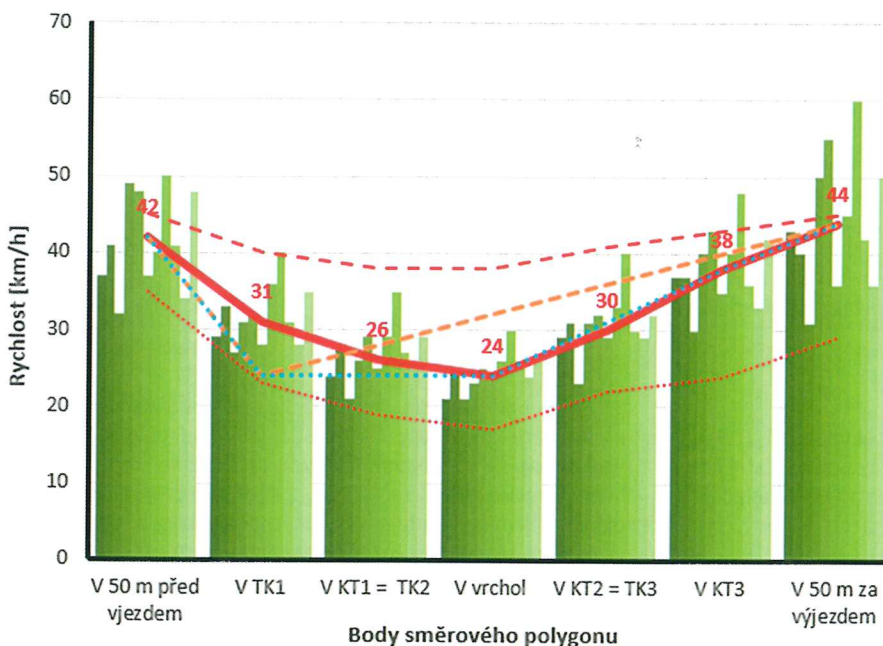
Na grafech (obr. 4 a obr. 5) je prezentován průběh závislosti rychlosťi měřicího vozidla  $V_{50\text{ m před}}$  na úhlu na vjezdu  $\alpha$  a poloměru vjezdu  $R_{IN}$ . Vyšší hodnoty úhlu na vjezdu  $\alpha$  vedou k nižším rychlosťem (viz obr. 4). Vyšší hodnoty poloměru vjezdu  $R_{IN}$  vedou k vyšším rychlosťem (viz a obr. 5). Pro snížení rychlosťi je logické vybírat vyšší hodnoty úhlu na vjezdu  $\alpha$  a nižší hodnoty poloměru na vjezdu  $R_{IN}$ . Přitom je nutné brát ohled na závislost poloměru  $R_{IN}$  na úhlu vjezdu  $\alpha$  (viz obr. 6). Nízké hodnoty úhlu na vjezdu  $\alpha$  vedou k vysokým hodnotám poloměru, které se blíží přímce.

### PRŮBĚH RYCHLOSTI VOZIDLA NA PŘÍMÉM PRŮJEZDU OK

Na následujícím obr. 7 je zobrazen průběh průměrné měřené rychlosťi  $V$  vozidla (červená čára) z 92 realizovaných průjezdů. Rychlosť vozidla na průjezdu je nejnižší ve vrcholové části oblouku, který náleží okružnímu pásu křížovatky. Zelené sloupce udávají hodnoty průměrné rychlosťi  $V$  z jednotlivých trajektorií průjezdu v rámci konkrétní křížovatky. Nutné je připomenout, že se jedná o neovlivněné průjezdy.

**Vyšší hodnoty rychlosťi  $V$**  odpovídají nízkým hodnotám směrových úhlů ( $\alpha, \omega, \beta$ ) a velkým hodnotám směrových oblouků ( $R_{IN}, R_{OK}, R_{OUT}$ ), což vede k vychýlení trajektorie vozidla na průjezdu křížovatkou (na obr. 7 znázorněno červenou tečkovanou čarou). Z pohledu bezpečnosti je toto nezádoucí.

**Nopak nízké hodnoty rychlosťi  $V$**  odpovídají vysokým hodnotám směrových úhlů ( $\alpha, \omega, \beta$ ) a malým hodnotám směrových oblouků ( $R_{IN}, R_{OK}, R_{OUT}$ ), což vede k vychýlení trajektorie vozidla na průjezdu křížovatkou (na obr. 7 znázorněno červenou tečkovanou čarou). Z pohledu bezpečnosti je toto výhodné. Z pohledu propustnosti dochází ke snížení kapacity křížovatky (tj. narušení plynulosti dopravního proudu).



- Dlouhá x Hraničky
- Hlavní x Absolonova
- Hudcova x Kytnerova
- Hviezdoslavova x Bedřichovická
- Jihlavská x Stará dálnice
- Koperníkova x Lazaretní
- Křírova x Sokolova
- Odbojářská x Nad Kašnou
- Palachovo náměstí
- Slezáková x Kohoutova
- Videňská x FUTURUM
- Průměr měřených rychlosťí V
- Předpoklad průběhu kapacitní rychlosťi
- Reálná kapacitní rychlosť
- měřená trajektorie přímý průjezd
- měřená trajektorie vychýlení

Obr. 7 – Rychlosť na přímém průjezdu OK v bodech směrového polygonu

Poznámka: Zelené sloupce představují průměrnou rychlosť za všechny platné průjezdy OK.



Experimentálně je dále na obr. 7 zobrazen průběh, pro tuto práci nazvané kapacitní rychlosť  $V$  (oranžová čárkovaná čára). Ta vychází z předpokladu, že přiblížující se vozidlo k OK má zpomalit v místě vjezdu (TK1), kde z pravidla dává přednost v jízdě vozidlům na okruhu. Toto splňuje požadavky na bezpečnost. Dále však nemá důvod, svoji rychlosť snižovat, takže může svoji rychlosť opět plynule zvyšovat až na původní hodnotu za výjezdem z OK. To za předpokladu, že se jedná o nekonfliktní průjezd. Jedná se tedy o velmi „kapacitní průjezd“ právě jednoho vozidla.

Dle revidovaného vydání TP 135 [2] je požadováno vychýlení trajektorie osobního automobilu na přímém průjezdu OK. Toto vychýlení má být zajištěno rozměry a umístěním středového ostrova a prstence spolu s ostatními prvky OK. Trajektorie pohybu vozidla se uvažuje dle obr. 8. Současně je zde popsán požadavek, že odchylka dráhy vozidla projíždějícího OK mezi dvěma protějšími nebo sousedními paprsky křížovatky nemá umožnit rychlosť vyšší jak: 30 km/h na OK s jedním pruhem na okruhu, 50 km/h na OK se dvěma a více pruhy na okruhu (viz obr. 9).

Odchylka dráhy vozidla je popsána v kapitole 3.2.3. TP 135 [2] následovně: „V místě napojení paprsku křížovatky na okružní pás je doporučeno provést mírné vychýlení jízdních pruhů na vjezdu i výjezdu (5–15° směrem od osy paprsku). Tím se zajistí zpomalení vozidel přijíždějících k okružnímu pásu, usnadní průjezd rozměrných vozidel a oddálí se vjezdy od výjezdů. Tato úprava má pozitivní vliv na kapacitu křížovatky.“

Na obr. 8 je toto vychýlení označeno jako  $\alpha_0$ . Domníváme se, že vychýlení jízdního pruhu na vjezdu nedonutí řidiče ke snížení rychlosť. Takovou změnu směru jízdy vozidla v intravilánové rychlosti řidič nepocítí. Maximální měřená rychlosť na průjezdu s vychýlením pomocí dlouhého ostrůvku je prezentována na obr. 7 (červená čárkovaná čára, OK Brno, Hudcová – Kytherova). Hlavní prvek sloužící ke sní-

žení rychlosť vozidla je úhel na vjezdu ( $\alpha_0$ ), proto jsme zanedbali vliv vychýlení jízdního pruhu paprsku křížovatky  $\alpha_0$ .

Technicky se celkové vychýlení dráhy vozidla  $\alpha$  skládá z vychýlení jízdního pruhu v patřičné vzdálenosti před napojením na okruh (viz obr. 8 označeno jako  $\alpha_0$ ) a dále potom v místě napojení na okruh (viz obr. 8 označeno jako  $\alpha_1$ ). Vychýlení v místě napojení na okruh se zpravidla provádí polohou středového ostrova, pojížděným prstenecem, ale také poloměrem zakružení vjezdu.

Úprava tohoto charakteru má zajistit dostatečné vychýlení trajektorie vozidla bez zbytečného snížení rychlosť a vytvořit tak prostor pro ostrůvek a také větší vzdálenost kolizních bodů na okruhu křížovatky. To podpoří rozhledové pole a reakční dobu řidičů.

### VLIV PRVKŮ OKRUŽNÍ KŘÍŽOVATKY NA NEHODOVOST

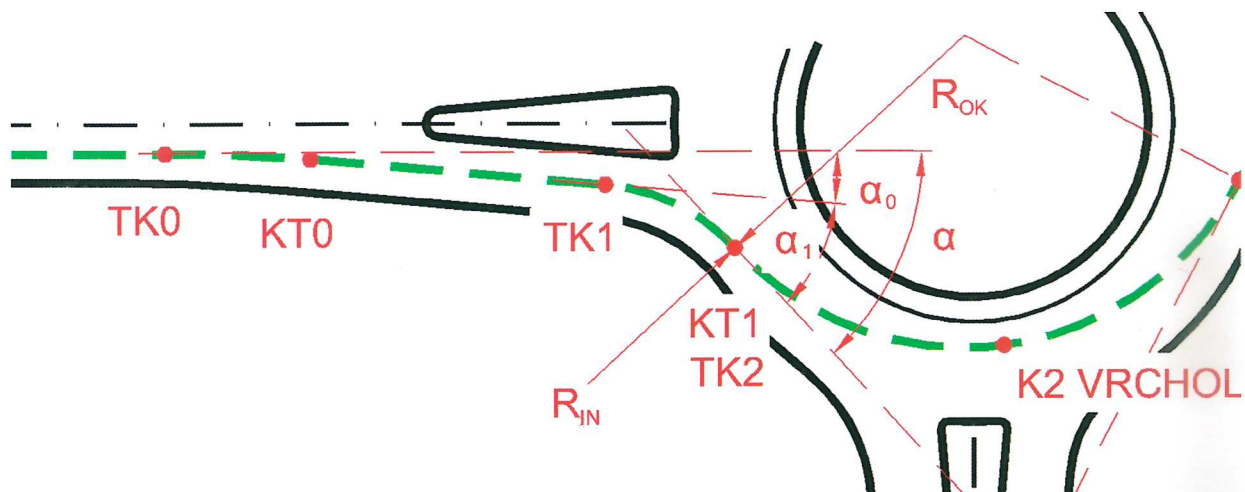
Model nehodovosti vjezdu OK z pohledu trajektorie vozidla (viz vzorec (1)) identifikoval vliv intenzity  $I$ , úhlu na vjezdu  $\alpha$  a přiblížující se rychlosť vozidla  $V_{50\text{m}\text{ před}}$  na vznik dopravní nehody. Model potvrdil, že:

- s rostoucí hodnotou intenzity  $I$  bude počet nehod  $N$  klesat,
- s rostoucí hodnotou úhlu na vjezdu  $\alpha$  bude počet nehod  $N$  klesat,
- a že s rostoucí hodnotou přiblížující rychlosť vozidel  $V_{50\text{m}\text{ před}}$  bude počet nehod  $N$  růst.

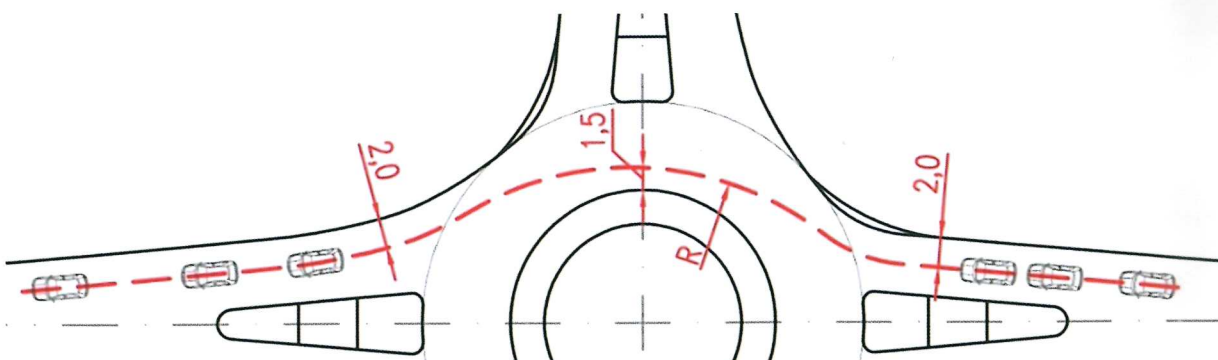
### Model nehodovosti vjezdové části trajektorie

$$(1) \quad N = 5,211 \cdot I^{-0,727} \cdot \alpha^{-0,052} \cdot V_{50\text{m}\text{ před}}^{0,066} \quad [-]$$

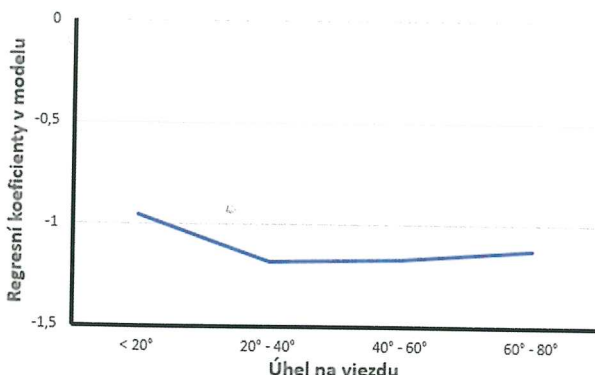
- Závislost klesajícího počtu nehod  $N$  na rostoucí intenzitě  $I$  je neobvyklá. Lze ji však vysvětlit vyšším podílem malých mezer v intravilánu a vyšší intenzitou, která znamená menší rozestupe mezi vozidly, přirozeně nižší rychlosť a větší pozornost řidičů.



Obr. 8 – Odchylka dráhy vozidla na vjezdu OK



Obr. 9 – Trajektorie průjezdu vozidla JOK ( $D = 30\text{ m}$ ) pro výpočet dosahované rychlosť na okružním pásu (zdroj: TP 135)



Obr. 10 – Model nehodovosti vjezdu OK: Vliv úhlu na vjezd OK

## SHRNUTÍ A ZÁVĚR

Z pohledu bezpečnosti vedou nízké hodnoty úhlu na vjezdu  $\alpha$  k vyšší rychlosti vozidla  $V$  což je v místě vjezdu OK nebezpečné (způsobuje horší následky nebo vyšší počet nehod). Z výsledků korelace a multifaktorové analýzy vyplývá, že parametry trajektorie vozidla na přímém průjezdu OK jsou ovlivněny vjezdem křižovatky, a to následovně:

- s rostoucím poloměrem vjezdu  $R_{IN}$  roste přibližovací rychlosť vozidla,
- vyšší hodnoty úhlu na vjezdu vyžadují menší hodnoty poloměru vjezdu  $R_{IN}$ ,
- větší úhel na vjezdu  $\alpha$  snižuje pravděpodobnost vzniku nehody (viz obr. 10).

OK je tedy vhodné navrhovat s dostatečným směrovým vychýlením a poloměrem vjezdu. Požadavky na směrové vychýlení na vjezdu OK jsou popsány v současném znění TP 135 [2]. Uvedená hodnota vychýlení 5 až 15 ° však z pohledu bezpečnosti v intravilánu nepostačuje, jelikož nedochází k přínosné redukcii rychlosti.

Z pohledu kapacity je nutné poznamenat, že úprava směru jízdy má vliv na rychlosť vozidla na průjezdu a ovlivňuje tak plynulosť dopravního proudu. V případě komunikace vyšší kategorie nebo nízkých intenzit toto není výhodou, ale časovou ztrátou.

Tento článek byl vytvořen za finanční podpory Ministerstva školství, mládeže a tělovýchovy v rámci programu Národní program udržitelnosti I., projektu Dopravní VaV centrum (L01610) a na výzkumné infrastruktury pořízené z Operačního programu Výzkum a vývoj pro inovace (CZ.1.05/2.1.00/03.0064).

**Ing. Jan Novák, Ph.D.**  
výzkumný pracovník  
**Centrum dopravního výzkumu, v. v. i.**

**Ing. Lucie Vyskočilová**  
výzkumný pracovník  
**Centrum dopravního výzkumu, v. v. i.**

**Ing. Jiří Ambros, Ph.D.**  
výzkumný pracovník  
**Centrum dopravního výzkumu, v. v. i.**

## How Do Roundabout Entry Design Parameters Influence Safety

Roundabouts (either new-builds or conversions) present a common practice of road network development. It is therefore important to know the influence of roundabout parameters on driving and safety. The paper focuses on analysis of roundabout through-pass. Measurement was done using GPS in an instrumented vehicle, in a total of 150 through-drives at 11 roundabouts in Brno. We identified trajectory parameters, including tangents, curves, entry angles, deviation angles and exit angles. The main contribution was in determining the influence of roundabout geometry on driving speed and safety. The conclusions confirm the necessity of suitable design parameters to ensure both safety and capacity.

## RECENZE

**Ing. Zuzana Čarská, Ph.D.,**  
**ČVUT, Fakulta dopravní**

Článek informuje o výsledcích analýzy přímého průjezdu okružní křižovatkou z hlediska dopadů konkrétních návrhových parametrů jednotlivé okružní křižovatky na bezpečnost silničního provozu. Průzkum provedli na dostatečně rozsáhlém souboru přímých průjezdů na přiměřeně pestré skladbě (z hlediska stavebního uspořádání resp. geometrie křižovatky) 11 okružních křižovatek. Velmi zajímavým a překvapivým závěrem z analýzy je zjištění, že nejvyšší korelace se objevila mezi rychlosťí 50 m před vjezdem a rychlosťí ve všech ostatních bodech průjezdu. Jinými slovy řečeno, chování řidiče se průběhu přímého průjezdu křižovatkou již totik nemění v důsledku uspořádání křižovatky, ale pokud vjezd rychle do ní, pak rychle projíždí i celou samotnou křižovatkou. Souhrnné závěry analýzy (dole na str. 7) jsou poměrně logické. Důležitým přinosem analýzy je mimojiné také zjištění, že hodnota vychýlení na vjezdu 5° až 15°, doporučována v TP 135, není z pohledu bezpečnosti dostatečná.

(Formálně kompletní recenzi má redakce uloženou ve svém archivu.)

## REFERENCE:

- [1] ČSN 73 6102 Projektování křižovatek na silničních komunikacích, edice č. 2, červen 2012, Úřad pro technickou normalizaci, metrologii a státní zkoušebnictví, 2012
- [2] TP 135 Projektování okružních křižovatek na silničních a místních komunikacích, Ministerstvo dopravy ČR, duben 2017
- [3] Sangyoup K., Jaisung Ch., Safety Analysis of Roundabout Designs based on Geometric and Speed Characteristics, KSCE Journal of Civil Engineering (2013) 17(6):1446-1454, DOI 10.1007/s12205-013-0177-4
- [4] Bared J. G., Prosser W., Esse C. T., State of the Art Design of Roundabouts, Transportation Research Record 1579, No. 970969
- [5] Design Guide on Inter-Urban Roundabouts (in French). SETRA, France, 1996.
- [6] Beau B., Alsgahan I., Li-Hong Chiu, Andrea R. Bill, and David A. Noyce, Analysis of Rear-End Collisions at Roundabout Approaches, Transportation Research Record: Journal of the Transportation Research Board, No. 2585, Transportation Research Board, Washington, D.C., 2016, pp. 29-38. DOI: 10.3141/2585-04
- [7] Turner S. A., Roozengurg A. P., Smith A. W., Roundabout crash prediction models, June 2009, NZ Transport Agency research report 386.
- [8] Roundabouts – Application and design, A practical manual, Ministry of transport, Public Works and Water management, partners for Roads, June 2009, file: B5381-01.001, registration number: VB/SE2008.0772
- [9] Nicholas J. Garber, Lester A. Hoel, Traffic and Highway Engineering 5<sup>th</sup> Edition, ISBN-13: 978-1133605157, ISBN-10: 113360515X